

Berichtssammlung des Versuchs-Laboratoriums

Bericht Nr. 497

497

Bericht über Arbeiten

zur

Kohlenwasserstoff-Synthese.

Eingezogen am 17. 8. 80

Inhalt.

	Seiten
<u>Eisenkontakte</u>	
Aufgabenstellung	1
Kontaktöfen	1
Kontakte	1
Zur Synthese mit Fe-Kontakt verwandte Gase	1
Einfluß der Reduktionsbedingungen auf die Ausbeute	2
Einfluß des Katalysators auf das Syntheseproduct	3
Einfluß der Belastung auf das Syntheseproduct	3
Einfluß der Fahrtemperatur auf das Syntheseproduct	4
Druckeinfluß auf den Sättigungsgrad des Syntheseproduktes	5
Sättigungsgrad verschiedener Fraktionen	6
<u>Verhalten verschiedener Eisenkontakte</u>	7 - 9
Verzweigung u. Klepfzahl	9
Röntgenuntersuchungen an Eisenkontakten	10
Ausbauten im halbtechnischen Versuch	11 - 12
<u>Versuche zur Paraffinsynthese</u>	13 - 22
Kontakteinfluß	13
Druckeinfluß	13
Einfluß des CO-Gehaltes des Gases auf den Paraffinanteil	14
Entwicklung des Paraffinkontaktes	15 - 19
Krackwirkung des Aktivators	16
Mikroskopische Kontaktuntersuchungen	18
Paraffin und Kontakttemperatur	14
Einfluß von Kontakt und Gasdruck auf die Primärprodukte	20
Gasdruck u. Sättigungugrad der Produkte	21
<u>Hartparaffin</u>	22 - 24
Kontakt u. Hartparaffinanteil	22
Isolierung des Hartparaffins	23
Zusammenfassung	24 - 25

Erklärung einiger im Text öfter gebrauchter Bezeichnungen.

1. Technisch reiner Wasserstoff

Analyse =

	CO ₂	O ₂	H ₂	CO	CH ₄	N ₂
	0,5		95,2	1,0	1,0	2,

2. Wassergas

	4,5		51,6	42,6	0,2	1,
--	-----	--	------	------	-----	----

2a. Ideales Wassergas

		50	50			
--	--	----	----	--	--	--

3. Synthesegas

	1,6		71,0	26,6	0,4	0,
--	-----	--	------	------	-----	----

3a. Ideales Synthesegas

		66,7	33,3			
--	--	------	------	--	--	--

4. Spezifische Ausbeute = g Pr./m³ ideales Wassergas

Wassergas

Synthesegas

5. Umsatzausbeute = g Pr./m³ umgesetztes ideales Wassergas

Wassergas

Synthesegas

6. Raumausbeute = kg Pr./m³ Kontakt Raum und Tag

7. Belastung = Liter Gas/Liter Kontakt und Stunde

8. Flüssigausbeute = Ausbeute an Produkt > c₅/m³ Idealgas

9. Gasol = c₅ = c₃ + c₄

00013

Leuna-Werke, am 5. April 1940

Mr. Wiss./Kz.

km.

Kohlenwasserstoff-Synthese-Versuche mit Eisenkontakten.

Bei den Versuchen zur Kohlenwasserstoff-Synthese mit Eisenkontakten wurden seriellige Kontaktversuche nicht angestellt, sondern mit zur Kohlenwasserstoff-Synthese von anderer Seite her entwickelten Kontakten und einem hier zur Verfügung stehenden Eisenschmelzkontakt wurde der Einfluß des Kontaktes, der Fahrtemperatur, der Gasszusammensetzung und der Fahrgeschwindigkeit auf die Art und Menge des anfallenden Syntheseprodukts festgestellt. Zur Verwendung kam ein für die Kohlenwasserstoff-Synthese aus $\text{CO} + \text{H}_2$ von Dr. Linckh entwickelter Eisenschmelzkontakt, ein für die Kohlenwasserstoff-Synthese in Gasphase nach Michael entwickelter Eisen-sinterkontakt und der in Leuna verwandte Ammoniak-Kontakt. Reduziert wurden die Kontakte bei verschiedenen Temperaturen von $450 - 850^\circ$ mit einem technischen Wasserstoff drucklos. Je nach Temperatur betrug die Reduktionszeit 5 - 15 Tage.

Qualitativ ist bemerkenswert, daß jeweils auf dem Kontakt an der Seite des Gas-eintritts eine gewisse Menge Ruß mit ca. 15 - 20% Fe_2O_3 vermischt zu finden war. Die Ursache der Rußbildung ist in dem $\text{CH}_4 + \text{CO}$ -Gehalt des angewandten H_2 zu suchen.

Die Öfen, in denen die Synthese durchgeführt wurde, waren Röhrenöfen mit $d = 15$ mm des einzelnen Kontaktröhres, als Heizmedium diente ein mit einem Gemisch von Diphenyl und Diphenyloxyd gefüllter Mantel. Der Temperaturausgleich in diesen Öfen ist bei Ölfüllung nicht so gut wie bei Wasserfüllung. Temperaturunterschiede bis zu 5° über die Länge der Rohre sind unvermeidlich, während bei Wasserfüllung praktisch völliger Temperaturausgleich zu erreichen ist.

Als Gas wurde zunächst ein Synthesegas angewandt mit der Zusammensetzung $\text{CO} : \text{H}_2 = 1 : 2,6$; die von uns mit Fe-Kontakten bei 20 atü durchgeföhrte Synthese verlangt ein Gas der Zusammensetzung $\text{CO} : \text{H}_2 = 1,2 : 1$. Wir sind daher, um der geforderten Gaszusammensetzung näher zu kommen, dazu übergegangen, Wassergas von genügender Reinheit für unsere Versuche zu verwenden, mit ca. 43% CO , 53% H_2 und 4% CO_2 . Legt man bei der Berechnung der Ausbeuten ein Idealgas der Zusammensetzung $\text{CO} + \text{H}_2 = 1 : 1$ zu Grunde, so ergeben Synthesegas und Wassergas annähernd gleiche Ausbeuten, d. h. aber die Effektivausbeuten je m^3 Synthesegas und m^3 Wassergas

verhalten sich wie 2 : 1. Die bisher erreichten Ausbeuten bei den am genannten unterrichten Kontakten W.K. 17 (MH-Kontakt) und 997 (Luftschmelz - Linokh) bewegen sich zwischen 90 und 100 g/m³ unter optimalen Reduktions- und Fahrbedingungen.

Im einzelnen soll zunächst der Einfluß der Reduktion der Katalysatoren betrachtet werden. Die Tabelle 1 gibt eine Übersicht über den Einfluß der Reduktionstemperatur auf die Wirksamkeit des Kontaktes. Die Kontakte wurden unter vergleichbaren Bedingungen gefahren.

T a b e l l e 1.

<u>Drucklose Reduktion</u>		W.K. 17	
Ausbeute mit Wassergas	Belastung mit H ₂	Red.-Temperatur	Zeit
63 g/m ³ Idealgas	- 1 : 100	850°	16 Std.
79 "	"	500°	10 Tage
102 "	"	450°	11 Tage
105 "	"	420°	4 Tage
> 105 "	"	400°	10 Tage

Aus der Tabelle geht hervor, daß niedrige Reduktions-Temperaturen die aktivsten Kontakte ergeben. Besonders deutlich tritt bei 500° eine Grenze auf, unterhalb der die Unterschiede dann klein werden. Der Grad der Reduktion, der nach dem Wasseranfall beurteilt werden kann, ist offenbar für die Wirksamkeit des Katalysators für die Synthese unwesentlich. Von den in der Tabelle angeführten Kontakten waren nur die 10 Tage und über 10 Tage reduzierten durchreduziert, während die anderen noch teilweise in oxydischer Form vorlagen. Wird unter Druck reduziert, so gelingt es bei 300° und 200 atü in ca. 40 - 60 Stunden eine vollständige Reduktion zu erreichen. Es wurde aber auch ein Kontakt W.K. 17 unter 100 - 150 atü und 300° ca. 10 Stunden mit H₂ behandelt, ohne daß wägbare Wassermengen auftraten, der aber trotzdem mit einer Ausbeute von ca. 90 g/m³ Wassergas seine volle Wirksamkeit hatte. Wenn bei 200 atü und 300° 24 Stunden mit Belastung 1 : 100 reduziert wurde, so wurde ca. 50% Reduktion erreicht, die auch in den meisten Fällen für volle katalytische Wirksamkeit ausreichend war. Außerlich erkennbar ist die Reduktion an dem veränderten Aussehen des Kontaktmaterials. Während unreduzierte oder schwach anreduzierte Eisenschmelzkontakte schwarz glänzend sind (Fe₃O₄), sehen die reduzierten, auch wenn sie bei 400° oder < 400° mit H₂ behandelt wurden, mattgrau metallisch aus.

Produkte der Elektronenkontakte und Einflüsse verschiedener Bedingungen auf die Art der Produkte.

Qualitativ zeigen sich deutlich von Einfluß auf das Siedeverhalten des entstehenden Produkts bei der gleichen Reduktionstemperatur und Druck: 1.) die Synthesetemperatur, 2.) die Belastung, 3.) der Kontakt selbst.

Steigende Belastung und steigende Synthesetemperatur erhöhen den Prozentsatz des Leichtsiedenden. Niedrige Synthesetemperatur und kleine Belastung bringt bei ein und demselben Kontakt mehr schwiersiedende bzw. feste Produkte. Bei Anwendung des gleichen Kontakts, der bei verschiedenen Temperaturen reduziert wurde, gibt der tief reduzierte im allgemeinen mehr Leichtsiedendes als der bei hoher Temperatur reduzierte. Von den von uns angewandten Kontakten ergab sich bei einer Reduktions temperatur bzw. einer Nachreduktion bei 450° (Michael-Kontakt wurde reduziert, aber praktisch inaktiv geliefert und mußte nachbehandelt werden) folgende Reihenfolge der Aktivität, die sich im prozentualen Anfall des bei 200° siedenden ausdrückt.

T a b e l l e 2.

Einfluß des Katalysators.

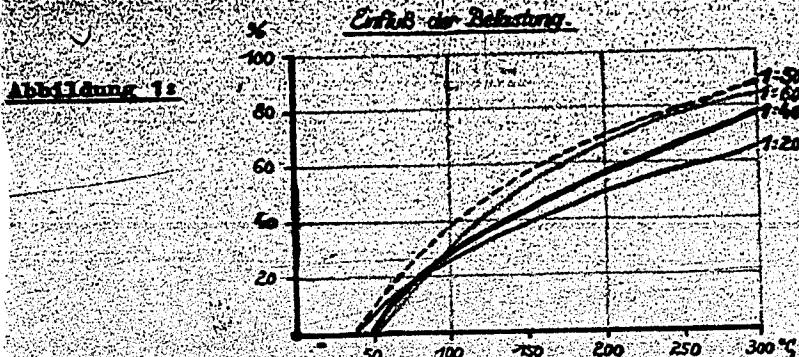
<u>Reduktionstemperatur:</u>	<u>Kontakt:</u>	<u>Unter 200° ≈ Bensin:</u>
450°	W. 17	55 %
450°	997	60 %
450°	Michael	73 %

Der Einfluß der Belastung auf das Siedeverhalten der Syntheseprodukte geht aus der Tabelle 3 hervor.

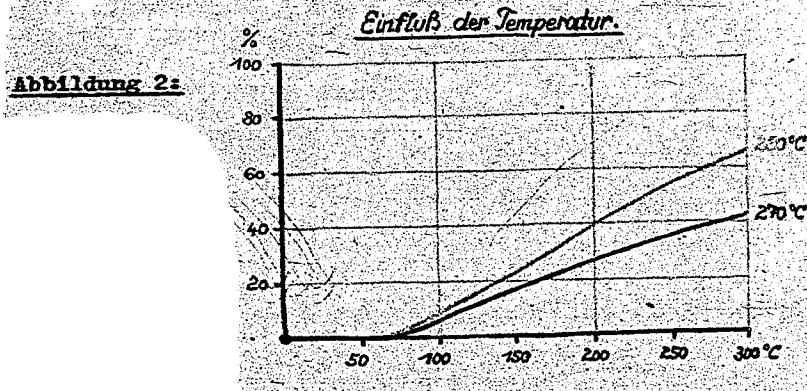
T a b e l l e 3.

<u>Kontakt</u>	<u>Red.-Temp.</u>	<u>Belastung bei der Synthese</u>	<u>Synthese-Druck</u>	<u>Benzinfabrikation < 200</u>	
997	450°	1 : 200	20 atu	51 %	Synthesegas
997	450°	1 : 300	20 "	55 %	
997	450°	1 : 400	20 "	57 %	
997	450°	1 : 500	20 "	71 %	Wasser Gas
997	450°	1 : 600	20 "	69 %	

Zur Verdeutlichung der Verhältnisse sind in Abb. 1 die zu Tabelle 3 angehörigen Siedekurven aufgezeichnet:

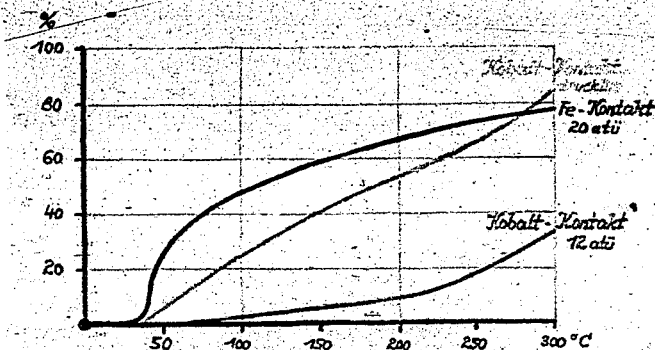


Daraus ist zu ersehen, daß mit steigender Belastung das Produkt leichtsiedend wird. Besonders auffällig ist der Anstieg der Benzinfaktion von Belastungen > 400 an. Im 15 mm Röhrenofen stellt aber diese Belastung, wenn keine besonderen Maßnahmen getroffen werden, die praktische Höchstgrenze dar, über die hinaus der Synthesenofen nicht über längere Zeit mit Sicherheit gefahren werden kann. Bei Durchsätzen von > 1 : 400 tritt bei verhältnismäßig geringen Unregelmäßigkeiten in der Temperaturlöderung oder in der Gasströmung Verstopfung durch Zerfall des Kontakts und Verrufen auf. Wird jedoch mit sorgfältiger Beobachtung von Temperatur und Gas, besonders auch unter laufender Überwachung des Endgases, gearbeitet, so gelingt es, evtl. wochenlang bei Belastungen von 1 : 500 und 1 : 600 die Synthese durchzuführen. Es ist aber anzunehmen, daß hierbei eine gewisse, bei sorgfältigem Fahren des Ofens gerade noch zu beherrschende Überhitzung des Kontakts stattfindet. Diese Überhitzung bei hohen Belastungen, die sich in der Größenordnung von 20 - 40° bewegt, ist primär die Ursache für die bei Belastungen > 400° stark auftretende Verschiebung nach dem leichtsiedenden hin. Zum Beleg für diese Auffassung können die in Abb. 2 aufgezeichneten Siedekurven dienen:



Zur allgemeinen Charakterisierung des Produktes in seinem Siedeverhalten, das sich deutlich von den Produkten der drucklosen und Mitteldruck-Synthese mit Hilfe von Co enthaltenden Kontaktten unterscheidet, sind in Abbildung 3 die Siedekurven des Produkts (von Kontakt Michael, gefahren bei 20 atü - Belastung 1 : 200, denen von 17 & 862 (Ko 30) drucklos und unter 12 atü bei 1 : 100 gefahrenen) gegenübergestellt. Auffallend ist der verhältnismäßig steile Anstieg der Kurve des Produkts von Kontakt Michael zwischen 80 und 200°, d. h. aber, der im Vergleich zu den Produkten des Kobaltkontakts starke Benzinanteil.

Abbildung 3.



Im Benzinanteil selbst ist als wesentliches Merkmal der Synthese-Produkte, die mit Co-Kontakt erzeugt wurden, der starke Gehalt an Paraffinen (86% Paraffin, 14% Olefin), bei den Synthese-Produkten, die mit Hilfe von Eisenkontakt erzeugt wurden, der überwiegende Gehalt an Ungesättigten (ca. 55% Olefin und 45% Paraffin) auffallend.

Die Zahlen in Tabelle 4 weisen darauf hin, daß ebenso bei den Syntheseprodukten, die mit Hilfe von Co-Kontakt erzeugt wurden, wie bei den mit Eisenkontakt synthetisierten, der Olefingehalt für das motorische Verhalten, wie es sich in der Oktanzahl ausdrückt, ausschlaggebend ist.

Tabelle 4.

% Olefine	Katalysator	Oktanzahl der Benzinfraktion
15	R.CH. +)	25
48	W.K. 17	57
57	997	56,5
71	997	63,5

+) - Kobaltkontakt

Jedoch ist damit keineswegs gesagt, daß allein der Gehalt an Ungesättigten für die Oktanzahl des Produkts bestimend ist. (vgl. auch Seite 9).

Auch die Fahrtemperatur, die Belastung und die Eigenschaften des jeweils verwandten Katalysatoren sind von Einfluß. Dabei läßt sich qualitativ sagen, daß bei annähernd gleichem Olefingehalt hohe Fahrtemperatur, hohe Belastung und aktiver Katalysator, also alle Faktoren, die auch verhältnismäßig viel Leichtsiedendes erzeugen, Produkte mit den höchsten Oktanzahlen liefern.

In Abbildung 4 wird der Verlauf des Olefingehalts in Abhängigkeit von der Siedetemperatur des Produktes angegeben. Der direkt mit der Phosphorschwefelsäure Methode gefundene Olefingehalt fällt schwach, die Jodzahl stark mit steigender Siedetemperatur, d. h. aber die gemessene Löslichkeit mit Phosphorschwefelsäure entspricht mit großer Annäherung dem tatsächlichen Olefingehalt.

Abbildung 4.

Verlauf des Olefingehaltes und der Jodzahl.

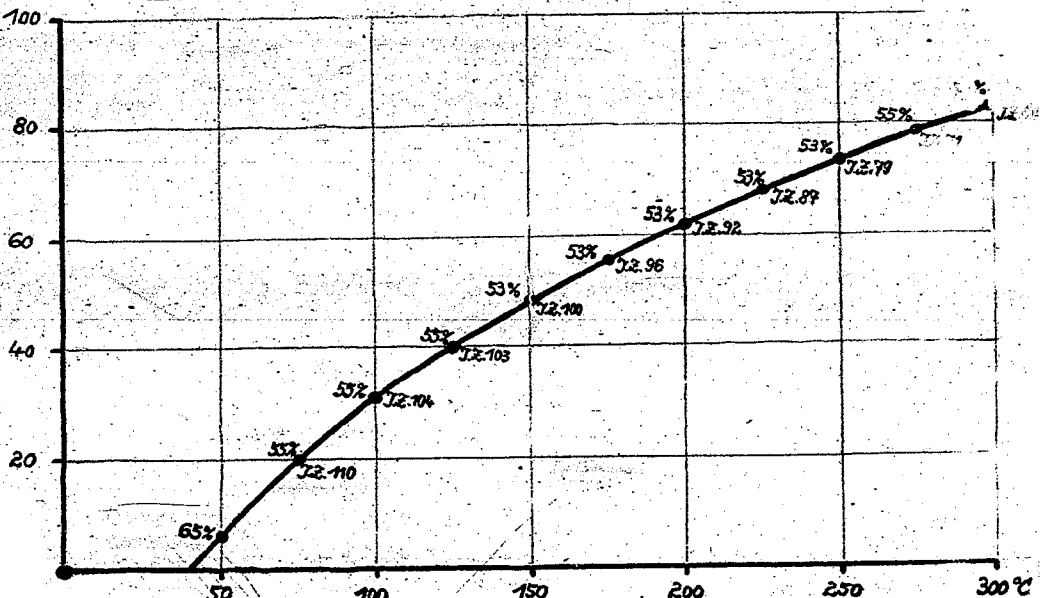


Tabelle da.

Beständigkeit der Benzine an Hand des Bombentestes.

Probe Nr.:	Induktionszeit Min.	Druckabfall atm.	Abdampfschale mg/100 ccm
245/39072	240	0,0	80,0
" 73	240	0,0	353,0
" 74	240	0,0	41,6
" 75	240	0,0	103,4
" 76	240	0,0	157,0
" 78	240	0,0	307,0
" 80	240	0,0	86,0
" 81	240	0,0	33,3

00030

Bei dem hohen Olefingehalt der Produkte sollte man annehmen, daß sie schnell altern und zur Gumbildung neigen. Zieht man den break down-Test zur Prüfung der Haltbarkeit heran, so ergibt sich zwar in allen Fällen ein relativ hoher Abdampfrückstand, aber in keinem Falle Sauerstoffverbrauch, sodaß durchaus die Möglichkeit einer Lagerung unter normalen Bedingungen, evtl. unter Zusatz von Inhibitoren, gegeben erscheint. (siehe nebenstehende Tabelle).

Ob der Olefingehalt der Produkte allein für das motorische Verhalten maßgebend ist, inwieweit sich die Synthese-Produkte durch einfache Maßnahmen verbessern lassen, soll noch genauer untersucht werden. Außerdem werden z.Zt. noch weitere Eisensinter-Kontakte auf ihre Eignung zur Kohlenwasserstoff-Synthese unter Druck geprüft.

Als vorläufiges Ergebnis liegt fest: Bei Raumgeschwindigkeit 1 : 300 und 20 atm können über längere Zeit (sehr wahrscheinlich einige Monate) in einer Stufe ca. 80 g/m³ und mit einer Umsatzausbeute von 130 g/m³ erzielt werden, davon sind ~ 60% Benzin von Oktanzahl ~ 60. Nach den bisherigen Erfahrungen im Labormaßstab steht zu erwarten, wenn mit Hilfe von Wälzgas zusätzlich für Temperaturausgleich gesorgt wird, daß sich bei praktisch gleichen Ausbeuten auch der Kontakt mit Gasbelastung 1 : 600 über längere Zeit sicher fahren läßt.

Verhalten verschiedener Eisenkontakte.

Nach diesen ersten systematischen Versuchen, die den Einfluß der Versuchsbedingungen, vor allen den Einfluß von Temperatur, Druck, Gaszusammensetzung und Belastung feststellen sollten, wurden unter einheitlichen Bedingungen verschiedene ähnliche Eisenschmelzkontakte, die uns als zur K.W.-Synthese unter Druck geeignet von Herrn Dr. Linckh empfohlen wurden, gefahren. Dabei sollte der geeignete Katalysator für die Standardbedingungen 19 atm, Belastung 200 und Wassergas gesucht werden. Die Belastung wurde so niedrig gewählt, um jedenfalls sicher zu sein, daß die Kontakttemperatur im Ofen beherrscht werden sollte. Die Reduktions temperatur betrug einheitlich 450°, um möglichst aktive Katalysatoren zu erhalten, die bei relativ niedrigen Temperaturen bereits arbeiten. Da uns im Zusammenhang mit der K.W.-Synthese nach Fischer mit Co-Kontakten lediglich die festen und flüssigen K.W. interessierten, war auch die Produkterfassung darauf abgestellt. Die Hauptmenge der Produkte wurde alle 24 Stunden aus einem unmittel-

0002

Der am Ofen angebrachten Abscheider abgewaschen unter Umständen nach vorherigen Erwärmungen. Dem Abscheider war ein druckes arbeitender A-Kohleturnus nachgeschaltet. Aus der A-Kohle wurde je nach Bedarf alle 3 bis 6 Tage das Leichtsiedende und Benzin ausgetrieben. Von dem zwangsläufig mit entfallenden Wasser wurden nur gelegentlich Stichproben auf Alkohole und Ketone untersucht.

Der Berechnung der spezifischen Ausbeuten ist ideales Wassergas von 0° 760 mm zu Grunde gelegt. In Tabelle 5 sind einige wichtige Daten der Produkte festgelegt. Deutliche Zusammenhänge zwischen den einzelnen Zahlenwerten sind nicht ohne weiteres ersichtlich. Die Kontakte wurden auf optimale Ausbeute gefahren.

T a b e l l e 5.

Spezifische Ausbeuten und Produktzusammensetzung an einzelnen Eisenkontakten.

Datum 1939	Kt.Nr.	Gas	Druck atü	Belastung	Ausbeute m^3/h	Umsatz-Ausbeute	Flüssig 300°	Benzin	Olefin in Benzин	Öl : Wasser
1.8.-30.8.	1388	Wasser-gas	19	1 : 200	55,5 g	62 g	90 %	65 %	42	1 : 1,4
5.11.-4.12.	1200	"	19	1 : 200	43,3 g	62 g	87 %	72 %	40	1 : 1,2
22.9.-21.11.	1353	"	19	1 : 200	56,4 g	59 g	85 %	64 %	46	1 : 0,77
28.9.-14.11.	1350	"	19	1 : 200	80,7 g	83 g	50 %	37 %	60	1 : 0,5
22.9.-14.11.	1244	"	19	1 : 200	90,9 g	108 g	63 %	45 %	53	1 : 0,55
1.8.-4.11.	319	"	19	1 : 200	97,5 g	115 g	61 %	48 %	45	1 : 0,4
4.-25.5.	W.K.17	"	19	1 : 200	102 g	116 g	80 %	55 %	48	1 : 0,4

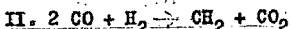
Produkt : Wasserverhältnis.

Lediglich Kontakt Nr. 1388 und 1200 haben sich von den anderen ab durch den hohen Anteil an Leichtsiedenden, der gleichzeitig von einem besonders niedrigen Anteil an Olefinen begleitet ist. Beide Kontakte geben ein Primärprodukt von ca. 90% unter 300° siedendem mit ca. 40% Olefinen. Der Siedetickstand von Primärprodukt von Kt. 1200 ist fast weiß und den entsprechenden Produkten der K.H.-Synthese mit Co-Kontakt sehr ähnlich. Ferner ist auffällig, daß gerade bei diesen Kontakten das Verhältnis Öl zu Wasser $> 1 : 1$ ist, also sich dem Öl - Wasser Verhältnis, wie es den Co-Kontakten eigen ist, nähert. Währing bei den Kohlenkontakten ein Öl-Wasser-Verhältnis $1 : 1,7$ und $> 1 : 1,7$ normal ist, zeigen die Eisenkontakte beim Fahren mit Wassergas im allgemeinen ein Öl-Wasser-Verhältnis $- 1 : 1$ oder $< 1 : 1$.

Dem entspricht bei den Co-Kontakten eine Reaktion im wesentlichen nach



während bei den Fe-Kontakten hauptsächlich die Reaktion



hervortritt. Dabei verläuft die K.W.-Bildung bei den Co-Kontakten recht genau nach der Gleichung I, während bei Fe-Kontakten offensichtlich in jedem Falle Gleichung I und II nebeneinander laufen. Im Falle von Kt. 1388 und 1200 tritt dabei aber die an sich für Co-Kontakte charakteristische Gleichung I besonders stark hervor. Das zeigt sich in dem Öl-Wasser-Verhältnis und ebenfalls in dem vorhandenen niedrigen Olefingehalt. Das Aussehen des Primärproduktes von Kt. 1200 weist auch auf eine Ähnlichkeit des Kontaktes mit Co-Kontakten hin.

Verzweigung und Klopfzahl.

Daß die Produkte der Fe-Kontakte im Benzinbereich sich im chemischen Aufbau nicht wesentlich von den mit Hilfe von Co-Kontakten erzeugten unterscheiden, geht aus der Tatsache hervor, daß die voll aufhydrierten Produkte, gleichgültig, ob sie über Fe- oder Co-Kontakt erzeugt wurden, etwa das gleiche Verhalten im Motor zeigen. So z. B.

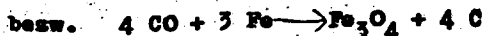
Produkt über Fe-Kontakt unbehandelt	Olefin = 53 %,	Oktanzahl = 56,5	35° - 200°
nach der Hydrierung	Olefin = 2 %, " "	= 3,0	35° - 200°
Produkt über Co-Kontakt unbehandelt	Olefin = 25 %, " "	= 42	35° - 200°
nach der Hydrierung	Olefin = 2 %, " "	= 2,0	35° - 200°

Das heißt also, daß Verzweigungen, die die Klopfzahl beeinflussen, nicht vorhanden sind, was allerdings geringe Verzweigungen, wie sie noch bei der Isomerenbestimmung nach Dr. Leithe erfaßt werden, nicht ausschließt. So wurden z. B. bei einem Produkt, das aus Methanolgas ($\text{CO} : \text{H}_2 = 1 : 2,5$) über Co-Kontakt drucklos hergestellt worden war, ca. 8 - 9% Isomere gefunden, während in einem Syntheseprodukt, das über Fe-Kontakt aus Wassergas ($\text{CO} : \text{H}_2 = 1 : 1$) hergestellt worden war, ca. 50% Isomere gefunden wurden. (Vgl. Mitteilung des Ammoniaklaboratoriums Oppau v. 28.12.1939).

00023

Untersuchungen von aktiven und durch Verrußung inaktiv gewordenen Kontakt.

Um den Vorgang des Verrußens von der Seite des Kontaktes her näher zu kommen, wurden Proben gebraucht, aber noch voll aktiven Kontaktes und verrostete inaktive Proben desselben Kontaktes röntgenographisch untersucht. (Dr. Brill/ Dr. Roeber). Dabei ergab sich, daß beide Proben Fe und Fe_3O_4 nebeneinander enthielten. Der Ruß machte sich im Röntgenbild nicht bemerkbar, war also amorph abgeschieden. Außerdem hatte sich das Verhältnis von Fe zu Fe_3O_4 in dem verrosteten Kontakt zu Gunsten des letzteren verschoben, sodaß die Annahme, daß die erste Ursache der Verrußung in der am Kontakt auftretenden CO-Spaltung in dem



wie sie mit reinem CO- und Fe-Kontakten schon bei den Arbeitstemperaturen auftritt, auch hierdurch gestützt wird. Das neu entstandene Fe_3O_4 ist feinkristallin, während das von Anfang an im reduzierten Kontakt noch vorhandene grobkristallin ist. Nach dem Verrüßen ist der Kontakt auch mechanisch vollkommen zerfallen, was sich auch durch die Neubildung von Fe_3O_4 auf Kosten von Fe unter Einlagerung von Rußteilchen erklären läßt.

00024

25000

Erreichter Stand im Versuchsbetrieb.

Als mittlere spezifische Ausbeute für Eisenkontakte unter Versuchsbedingungen, die eine Verrufung des Kontaktes durch Überlasten sicher ausschließen, z. B. 19 atü, Raumbelastung 300, wurde unter Anwendung von Null-Wassergas in einem ca. 3 Liter Kontakt fassenden Ofen etwa 80 - 85 g Produkt/m³ Wassergas in einer Stufe erreicht. Das Wasser enthielt zwischen 4 und 10 % Aethylalkohol und Aceton sodass unter Einrechnung dieser Produkte die Ausbeute ca. 90 g/m³ Wassergas beträgt. Wird auch das Gasöl in der Berechnung der Ausbeute berücksichtigt, so sind unter den vorgenannten Bedingungen leicht 105 g verwertbare Produkte in einer Stufe zu erreichen. Die Umsatzausbeute beträgt durchschnittlich 160 g/m³ umgesetztes Wassergas.

Da das Ofengas bei dieser Fahrweise teilweise konvertiert ist, sodass ein CO : H₂ Verhältnis = 1 : 2 oder 1 : > 2 vorliegt, wurde, um eine Höchstausbeute an nutzbaren Produkten zu erzielen, eine zweite Stufe mit Kobaltkontakt drucklos nachgeschaltet. Der Kobaltkontakt verarbeitet den Kohlenoxyd + Wasserstoff-Gehalt des Restgases zu ca. 80%. Da die erste Stufe ca. 50% des CO + H₂ verbraucht, heißt das, dass bei zwei Stufen, erste Stufe Eisenkontakt, zweite Stufe Kobaltkontakt insgesamt ca. 90% des CO + H₂ verbraucht werden.

Folgender Versuch wurde durchgeführt:

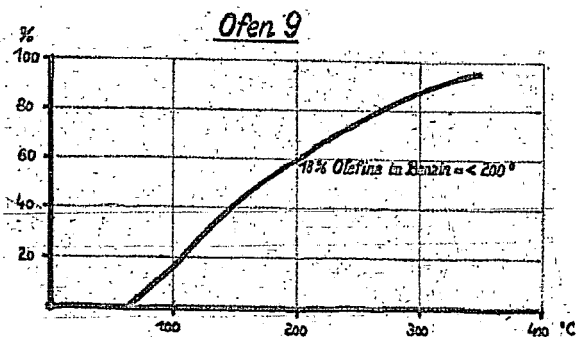
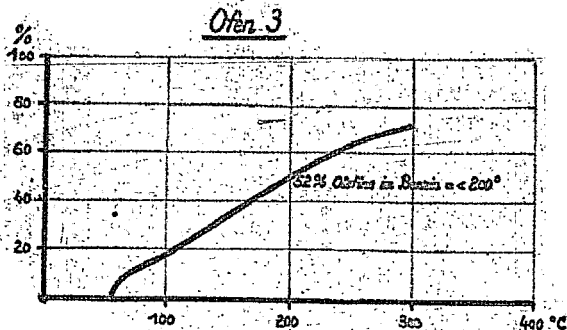
Erste Stufe:	3 Liter Röhrenofen, Durchmesser der Rohre 15 mm
Kontakt 997:	Eisenschmelzkontakt
Gas:	Null-Wassergas
Druck:	19 atü
Temperatur:	≈ 270

Insgesamt wurden 86% des CO + H₂ umgesetzt.

Die Analyse des Eingangsgases:

CO ₂	=	4,92
O ₂	=	0,00
H ₂	=	51,8
CO	=	42,95 F 53 m ³ Gesamtgas
Zunahme	=	0,00
C _n H _{2n+2}	=	0,19
H ₂	=	0,86

00025



- 12 -
00026

Nach dem Passieren der ersten Stufe des mit Eisen-Schmelzkontakt gefüllten 3 Liter-Ofen verlässt ein Gas folgender Zusammensetzung den Ofen:

CO ₂	=	19,60
O ₂	=	0,00
H ₂	=	50,80
CO	=	26,80
Zunahme	=	0,20
C _n H _{2n+2}	=	2,40
N ₂	=	0,20

f 34 m³ Gesamtgas

Die Kontraktion beträgt dabei etwa 40% und es sind in dieser Stufe ca. 90 - 100 g Produkt/m³ Wassergas erzeugt worden. Das Kohlenoxyd-Wasserstoffverhältnis hat jetzt die richtige Einstellung für einen mit kobalthaltigen Kontakt arbeitenden Ofen. Nach der Entspannung und Produktabscheidung bei ca. 10° wurde das Gas der zweiten Stufe, einem 9 Liter Kontaktfassaden mit Kobaltkontakt gefüllten Röhrenofen zugeleitet. Dort wurden weitere 40 - 60 g Produkt/m³ Gas erzeugt. Das Endgas hatte folgende Zusammensetzung:

CO ₂	=	41,20
O ₂	=	0,00
H ₂	=	24,60
CO	=	18,00
Zunahme	=	3,00
C _n H _{2n+2}	=	12,20
N ₂	=	4,00

f 16,5 m³ Gesamtgas

Insgesamt wurden 86% des CO + H₂ umgesetzt.

Die erreichte Gesamtausbeute aus beiden Stufen betrug zwischen 135 und 150 g/m³ Wassergas. Der Hauptgrund für diese Verhältnismäßig gute Gasausnutzung liegt in der Anpassung des Kontaktes an das jeweils vorliegende CO : H₂ Verhältnis begründet. Die beiden Kurven in Abbildung 5 geben das Siedeverhalten der Produkte wieder.

Ofen 3 = Produkt über Eisenkontakt erzeugt

Ofen 9 = Produkt über Kobaltkontakt erzeugt

Vorversuche zur Paraffinsynthese aus CO und H₂.

Geht man bei der K.W.-Synthese vom drucklosen Arbeiten zur sogenannten Mitteldrucksynthese über, so erhält man, wie aus der Literatur über die K.W.-Synthese bekannt ist, höhermolekulare Kohlenwasserstoffe. Bei dem allgemein gesättigten Charakter der Kohlenwasserstoffe, die man aus der Synthese aus CO und H₂ mit Co und Ni-Katalysatoren erhält, handelt es sich auch bei den Syntheseprodukten der Mitteldrucksynthese fast ausschließlich um Paraffine. Im Folgenden ist alles > 300° siedende als Paraffin bezeichnet.

Um den besonderen Einfluß des Kontaktes zu kennzeichnen, werden ein typischer Benzinkontakt und Paraffinkontakte, dav sind Kontakte, die bereits beim drucklosen Arbeiten schon weit über die Norm von 5 - 10% Paraffin erzeugen, unter sonst gleichen Bedingungen gegenübergestellt.

T a b e l l e 6.

Kontakt ^{*)}	Gas	Druck	Belastung	g Ausbeute/m ³	% Paraffin
R. Ch. Synthese-	4 atü	1 : 100		105 g	32 %
1640	gas	4 atü	1 : 100	73 g	41 %
1198		4 atü	1 : 100	75 g	52 %

Die Gegenüberstellung zeigt, daß ein Einfluß des Kontaktes deutlich vorhanden ist, die Paraffinausbeute lässt sich durch die Auswahl geeigneter Kontakte leicht von ≈ 30% auf ≈ 50% steigern. Dabei zeigt sich aber gleichzeitig ein Zurückgehen der Gesamtausbeute von 105/m³ auf 75 g/m³ Synthesegas, sodaß die wirkliche Ausbeute an Paraffin nur von ≈ 32 g auf ≈ 38 g pro m³ Gas steigt.

Die nächste Zusammenstellung zeigt an den schon in der sechsten Tabelle angeführten Kontakten den Einfluß des Druckes unter sonst gleichen Bedingungen.

^{*)} Die Kontakte R.Ch., 1640 und 1198 sind sämtlich Co enthaltende Kontakte.

00028

Tabelle 7.

Kontakt	Gas	Druck	Belastung	ϕ Ausbeute/m ³	% Paraffin
I	R. Ch. Synthese	4 atü	1 : 100	105 g	32 %
	R. Ch. gas	9 atü	1 : 100	98 g	30 %
II	1640	5-9 atü	1 : 100	73 g	41 %
	1640	14 atü	1 : 100	73 g	38 %
III	1198	4 atü	1 : 100	75 g	52 %
	1198	9 atü	1 : 100	83 g	60 %

Zu den obigen Angaben ist noch zu sagen, daß von I nach III die Aktivität der Kontakte fällt, wenn man sie beim drucklosen Fahren miteinander vergleicht.

Es ergibt aus der Tabelle 7, daß bei aktiven Kontaktten, wie es die unter I und II angeführten sind, eine Drucksteigerung über 4 atü keine vermehrte Paraffinbildung herbeiführt, wenn man die Unterschiede von je 3 % nicht vernachlässigen will, heißt es sogar, daß diese Drucksteigerung ein Absinken der Paraffinausbeute bewirkt.

Bei Kontakt 1198 ist degegen mit einer Erhöhung des Druckes von 4 auf 9 atü, eine Steigerung des Paraffinanteils von 52 auf 60% verbunden. Daraus ist zu schließen, daß nur die relativ inaktiven Kontaktte druckempfindlich sind in dem Sinne, daß Drucksteigerung eine Vergrößerung des Paraffinanteils im Gesamtprodukt hervorruft.

In Tabelle 8 wird der Einfluß des CO-Gehalts des Synthesegases auf die Zusammensetzung des Produkts gezeigt.

Tabelle 8.

Kontakt	Gas	Druck	Belastung	ϕ Ausbeute/m ³	% Paraffin	% CO im Gas
1640	Synthese-	14	1 : 100	73 g	38 %	25 %
	gas	Wassergas	14	84 g	68 %	43 %

Das heißt also, daß eine Erhöhung des CO-Gehalts des Gases eine starke Erhöhung des hochmolekularen Anteils bewirkt.

In Tabelle 7 wird an einem Beispiel, die Änderung des Produktszusammensetzung in Abhängigkeit von der Laufzeit dargestellt.

Tabelle 9.

Kontakt	Temperatur	Zeit	Gas	% Paraffin	Druck
1. V.K.17	240° - 267°	20.7.-9.8.	O.W.G.	43 %	19 ati
2. V.K.17	267° - 319°	9.8.-30.8.	O.W.G.	44 %	19 ati
3. V.K.17	319° - 320°	31.8.-27.9.	O.W.G.	60 %	19 ati

Aus den Zahlen ist zu entnehmen, daß weder die Abnahme der Aktivität, die mit zunehmender Laufzeit des Katalysators zwangsläufig auftritt noch die Änderung der Temperatur allein von Einfluß auf die Zusammensetzung des Produkts sind. Wird dagegen, wie in dem in der letzten Reihe 3 angeführten Beispiel die Temperatur konstant gehalten, so bewirkt die abnehmende Aktivität des Katalysators im Endeffekt Molekülvergrößerung, d. h. Paraffinbildung. In 1. und 2. wird die absinkende Aktivität durch die laufend durchgeführte Temperaturerhöhung ausgeglichen.

Aus den in Tabelle 6 - 9 angeführten Zahlen ergibt sich, daß es möglich sein muß, durch geeignete Kontaktauswahl und Fahren mit Co-reichem Gas bei mittleren Drucken und möglichst tiefen Temperaturen den Anteil an Hochsiedendem weiter zu steigern.

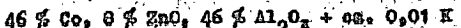
Systematische Versuche zur Paraffinsynthese aus CO + H₂.

Nachdem durch die vorbeschriebenen Tastversuche der Einfluß von Kontakt, Druck und Gaszusammensetzung qualitativ festgelegt war, wurde nun versucht, innerhalb der gegebenen Grenzen die beiden am stärksten zu beeinflussenden Komponenten, den Kontakt und den Arbeitsdruck systematisch zu verändern.

Nach den Vorversuchen, die mit verschiedenen Kontakten aber sonst gleichen Arbeitsbedingungen durchgeführt wurden, schien ein Zusammenhang zwischen Paraffinanteil des Primärproduktes und spezifischer Ausbeute zu bestehen, in dem Sinne, daß

steigender Paraffinanteil einhende spezifische Ausbente bedingt. Als einzige
uns bekannte Ausnahme lag ein in Ludwigshafen entwickelter Paraffinkontakt vor,^{*)}
der drucklos und unter Druck hohe spezifische Ausbente und unter Druck gleichzeitig
einen Anteil von ca. 70% Paraffin im Primärprodukt brachte.

Bei der Entwicklung des Katalysators gingen wir aus von dem Kontakt W.K. 5b,⁺⁺⁾
der bei 4 atü und Synthesegas eine spez. Ausbente von 75 g und einen Paraffinanteil
von 52% lieferte. Der Kontakt W.K. 5b hatte folgende Zusammensetzung:



Der Kontakt wurde kalt mit 30%iger K_2CO_3 -Lösung gefüllt. Die Reproduzierbarkeit
war sehr schwierig, da die verwandten häufigen Al_2O_3 -Sorten nicht gleichmäßig
waren. Es wurde deshalb ein gleichmäßig anfallendes Aluminiumoxyd gewählt und
bei 1000° nachbehandelt, sodaß bei dieser Komponente des Kontaktes gleichmäßiges
Ausfallen sicher war. Die auf der Basis dieses Al_2O_3 hergestellten Kontakte er-
gaben reproduzierbar 65 - 75 g Primärprodukt/m³ Gas mit ca. 50% Paraffin in einer
Stufe.

Weiterentwicklung des Kontaktes W.K. 5b.

Aus früheren Versuchen mit Kobaltkontakten war der schädigende Einfluß von Alkali
bekannt. Besondere längeres Verseilen der bei diesen Kontakten als Träger ange-
wandten Kieselgur in der alkalischen Mutterlauge hatte sich als schädlich erwiesen.
Bei Anwendung von Al_2O_3 als Träger war die Gefahr des Anätzens des Al_2O_3 durch die
Kaliumkarbonatlösung noch größer als bei Kieselgur. Der ursprüngliche Kontakt W.K. 5b
war nach dem Auswaschen mit einer Alkalilösung, die einer Menge von 0,01% Kalium
entsprach, nachträglich vermahlen worden. Eine Neuerstellung des Kontaktes in der-
selben Zusammensetzung lediglich unter Weglassen des Vermahlens mit K_2CO_3 ergab:

Kontakt 2130 spez. Ausbente 125 g/m³ Synthesegas - 61% Paraffin
in einer Stufe bei Belastung 100.

Vermeiden der Krackwirkung durch den Aktivator.

Hydrierversuche, die mit Kontakten zur K.W.-Synthese an Olefinen bei 200° durch-
geführt wurden, führten noch auf einen anderen Weg. Es zeigte sich nämlich, wenn
man Olefine mit den reinen Hydrierkontakten, die auf der Basis Ni, Al_2O_3 aufgebaut
sind, hydriert, daß man dabei weit weniger niedrigsiedende Anteile

^{*)} Ein Paraffinkontakt wurde von Herrn Dr. Scheuermann, In zur Verfügung gestellt.

⁺⁺⁾ Die Kontaktfüllungen wurden von Herrn Dr. Markus hergestellt.

also "Krackprodukte" erhält, als wenn man die Hydrierung unter sonst gleichen Bedingungen mit z. B. einem Co-ThO₂-MgO-Kontakt durchführt. Es liegt daher nahe, in dem nicht unmittelbar an der Hydrierung beteiligten Aktivator die Ursache für die "Krackung" zu suchen.

Es ist besonders wahrscheinlich, da eine meßbare Aufspaltung von höheren Kohlenwasserstoffen in niedere an Synthesekontakten für Kohlenwasserstoffe aus CO + H₂ schon merklich bei den Arbeitstemperaturen, also bei 170 - 220° stattfindet. Nun kann man ohne weiteres annehmen, daß diese Aufspaltung nicht mehr in Gegenwart von reinem Wasserstoff, sondern auch in Gegenwart von Synthesegas, das ja 66-70 % H₂ enthält, stattfindet, sodaß normalerweise der Kohlenwasserstoffen aufbauenden Reaktion in der Fischer-Synthese eine die fertigen höheren Kohlenwasserstoffe abbauende Reaktion überlagert ist. (Literatur dazu: Brennstoff-Chemie, Jg. 39, S. 371). Bei der Mitteldrucksynthese, die ja als Hauptreaktionsprodukt langkettige Kohlenwasserstoffe erzeugt, müßte sich die Einwirkung der Krack-Komponente doppelt ungünstig auswirken.

- 1.) Die erzielbare mögliche Ausbeute je m³ Gas wird herabgesetzt durch erhöhte Methanbildung.
- 2.) Der prozentuale Anteil an hochmolekularen Kohlenwasserstoffen wird herabgesetzt

Die in Tabelle 6 angeführten Kontaktversuche zeigen ein Ansteigen des Anteils an Paraffin vom Magnesiumoxyd enthaltenden Kontakt R.Ch., der als Träger Kieselgur enthält, über den Uranoxyd enthaltenden Kontakt 1640, der ebenfalls auf Kieselgur gefüllt ist, zum Kontakt 1198, der als Aktivator Zinkoxyd und als Träger Al₂O₃ enthält.

Das Herabsetzen der ZnO-Menge, die in Kontakt 2130 9,8 % betrug, auf 6,3 % führte zu Kontakt 2150c.

Kontakt 2150c: spez. Ausbeute 135 g/m³ Gas - 57% Paraffin in einer Stufe bei Belastung 100.
D. h. allein durch Verminderung der ZnO-Menge war ein Ansteigen der spezifischen Ausbeute um ca. 10 g/m³ Synthesegas erreicht worden, der Paraffinanteil war praktisch in gleicher Höhe geblieben.

Wirkung von Kontaktionsverhältnissen im polarisierten Licht.

Die mikroskopischen Kontaktionsverhältnisse erstreckten sich hauptsächlich auf den Bereich des Aktivators und der Transversatane. Es liegt auf der Hand, daß für die Leistungsfähigkeit des Kontaktes die Füllungsart der Hauptkomplexe von großem Einfluß ist. Insbesondere ist auch ein leistungsfähiger Co-Kontakt existiert, der nur Co auf Kieselgur enthält. Es wurden deshalb Modellversuche angestellt, um die verschiedenen Füllungsarten für Co mikroskopisch zu untersuchen. Variiert wurden bei der Co-Füllung die Konzentration der Lösungen, die Füllungszeit, und die Füllungstemperatur. Insgesamt wurden 17 verschiedene CoCO₃-Füllungen hergestellt und mikroskopisch untersucht (Dr. Ebster). Tabelle 10 enthält nähere Angaben.

T a b e l l e 10.

		$\frac{n}{10}$	Kobaltnitrat	+	100 cmc	$\frac{n}{10}$	K-carbonat	
8a	100 cmc	$\frac{n}{10}$	"	+	100 cmc	$\frac{n}{10}$	"	kalt langsam
8b	100 cmc	$\frac{n}{10}$	"	+	100 "	$\frac{n}{10}$	"	kalt schnell
8c	100 "	$\frac{n}{10}$	"	+	100 "	$\frac{n}{10}$	"	heiß langsam
8d	100 "	$\frac{n}{10}$	"	+	100 "	$\frac{n}{10}$	"	heiß schnell
9a	100 "	$\frac{n}{10}$	"	+	10 "	$\frac{n}{1}$	"	kalt langsam
9b	100 "	$\frac{n}{10}$	"	+	10 "	$\frac{n}{1}$	"	kalt schnell
9c	100 "	$\frac{n}{10}$	"	+	10 "	$\frac{n}{10}$	"	heiß langsam
9d	100 "	$\frac{n}{10}$	"	+	10 "	$\frac{n}{1}$	"	heiß schnell
10a	100 "	$\frac{n}{1}$	"	+	100 "	$\frac{n}{1}$	"	kalt langsam
10b	100 "	$\frac{n}{1}$	"	+	100 "	$\frac{n}{1}$	"	kalt schnell
10c	100 "	$\frac{n}{1}$	"	+	100 "	$\frac{n}{1}$	"	heiß langsam
10d	100 "	$\frac{n}{1}$	"	+	100 "	$\frac{n}{1}$	"	heiß schnell
11a	10 "	$\frac{n}{1}$	"	+	100 "	$\frac{n}{10}$	"	kalt langsam
11b	10 "	$\frac{n}{1}$	"	+	100 "	$\frac{n}{10}$	"	kalt schnell
11c	10 "	$\frac{n}{1}$	"	+	100 "	$\frac{n}{10}$	"	heiß langsam
11d	10 "	$\frac{n}{1}$	"	+	100 "	$\frac{n}{10}$	"	heiß schnell
12	$\frac{n}{10}$:	"	+	$\frac{n}{10}$	"	"	kalt strömend

Die Füllungen 9c - 9d sind ohne Röhren, alle anderen unter Röhren hergestellt.

Die Voruntersuchungen an anderen Präparaten ergaben hatten, daß ~~die~~ die in Wasser dispergierten Fällung eine Beobachtung schwer durchführbar ist, wurden sämtliche Fällungen daher getrocknet, dann als Strudelpräparate auf Kaliumquicksilberjodid beobachtet.

Die Beobachtung bei parallelen Nicols ergab:

Sämtliche Proben mit Ausnahme von Probe 12 sind kristallin. Kristallographisch charakteristische Formen sind nicht erkennbar. Die aus verdünnten Lösungen ($\frac{n}{10}$) gefällten Präparate sind behaftet bis gold, die langsam aus konzentrierten Lösungen gefällten sind violettfarbt. Probe 12 ist auffallend dunkelbraun.

Die Beobachtung unter gekreuzten Nicols ergab:

Lediglich Probe 12 ist optisch isotrop. Alle übrigen Proben zeigen anisotropes Verhalten, das sie nur graduell voneinander unterscheidet. Das heißt aber, daß von allen untersuchten Proben nur Probe 12 sich deutlich von den anderen unterscheidet. Die Untersuchung unter gekreuzten Nicols deutet an, daß ein amorpher Füllungsprodukt verliegt. Die Messung der Fällung bestätigt diese Vermutung. Die Rohfällung wurde in diesem Falle im strömenden System vorgenommen, d. h. Co- und Zn-nitratlösung fließen so mit der Kaliumkarbonatlösung zusammen, daß unmittelbar nach der Fällung die Suspension von basischem Co- und Zinkkarbonat von einem großen Wasseraüberdruck mitgenommen wird, sodaß die sonst in der Mutterlauge stattfindende Alterung der Fällung und die damit verbundene Vergrößerung der Kristalle weitgehend unterbunden wird. Die Wahrscheinlichkeit, eine außerordentlich feinkristalline, evtl. amorphe Füllung zu erhalten, ist somit auch von dieser Seite gegeben.

Im strömenden System als Paraffinkontakt wurde gefällt Kontakt 2307.

Kontakt 2307: spez. Ausbeute 120 g Produkt/m³ Gas - ca. 70% Paraffin,
d. h., es ergab sich der höchste Paraffinanteil.

Bei gleichbleibender Gesamtausbeute liegt der Paraffinanteil während längerer Laufzeit nach.

An der Weiterentwicklung des Kontaktes wird noch gearbeitet.

Paraffin und Kontakttemperatur.

Bei gleichbleibender Kontaktaktivität zeigt sich, daß mit steigender Arbeitstemperatur sich das Siedeintervall des Gesamtprodukts nach Richtung der niedrig-siedenden verschiebt. D. h. für die Paraffinsynthese, der Paraffinanteil wird mit steigender Temperatur kleiner. Es zeigt sich daher regelmäßig, daß bei längerer Fahrperiode der Paraffingehalt des Primärproduktes sinkt. Der Hauptgrund dafür ist

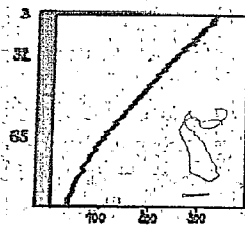
00034

I

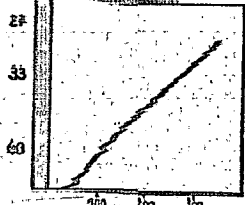
RCH

1 drucklos

2 4 adU



II

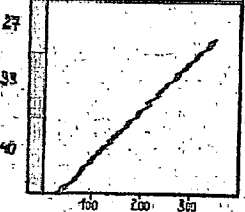


II

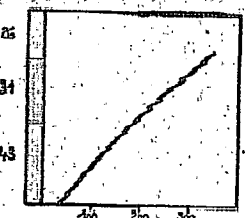
RCH

3 4 adU

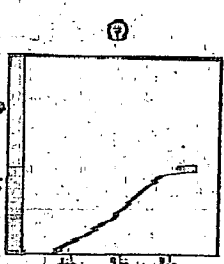
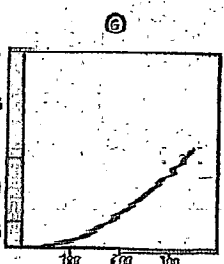
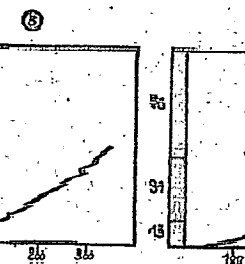
4 5 adU



III



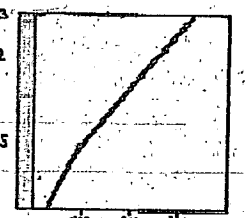
III



IV



V



2123

6 9 adU

RCH

1 drucklos

 Kogasen I < 160° Kogasen II < 320° Kogasen II > 320°

CC035

in der Temperatursteigerung, die bei längerer Fahrperiode möglich ist, um den Umsatz aufrecht zu erhalten, zu suchen. Ob darüber hinaus noch ein weiterer Effekt beim Kontakt selbst zu suchen ist, war bisher nicht möglich festzustellen wegen der geringen täglich anfallenden Mengen. In einem halbtechnischen Versuch werden z. Zt. bei gleichbleibender Temperatur täglich Siedeanalysen gewonnen, um so evtl. eine Verschiebung der Produktzusammensetzung in Abhängigkeit von der Laufzeit festzustellen. Die Temperaturabhängigkeit der Produktzusammensetzung erfordert zur Erzielung einer hohen Paraffinanteile hoch aktive Kontakte, damit bei möglichst tiefen Temperaturen gearbeitet werden kann. Daneben ist ein sehr reines Synthesegas erforderlich, um die Kontaktaktivität möglichst lange Zeit zu erhalten.

Einfluß von Kontakt und Gasdruck auf die Zusammensetzung
der Primärprodukte.

Arbeitet man, wie es im Rahmen der in Leuna angestellten Versuche zur K.W.-Synthese geschehen ist, mit Kontakten, die ausschließlich auf Co-Basis hergestellt worden sind, so ändern sich unter verschiedenen Versuchsbedingungen fast ausschließlich Siedegrenzen und Siedegrenzen der Produkte. Man sieht nun zunächst die Verschiebung der Siedegrenzen unter der üblichen Einteilung in $< 180^\circ$ - Kogasin I - $180 - 320^\circ$ - Kogasin II - $> 320^\circ$ - Paraffin, so zeigt die Gegenüberstellung unter I:

Der Paraffinanteil verschiebt sich beim Übergang vom drucklosen Fahren zum Druck (4 atu) in dem Sinne, daß beim Fahren unter Druck der Paraffinanteil von ca. 5 % auf 27 % steigt in wesentlichen auf Kosten von Kogasin I, dessen Anteil dabei gleichzeitig von 65 % auf 40 % sinkt. Die Gegenüberstellung unter I zeigt das Verhalten eines typischen Benzinkontaktes beim Übergang von 0 auf 4 atu. Unter II ist Produktveränderung, die bei Anwendung desselben Kontaktes beim Übergang von 4 auf 9 atu eintritt, dargestellt. Es zeigt sich, daß dabei kaum ein Einfluß der Druckveränderung zu bemerkern ist. Unter III ist der Einfluß auf die Siedegrenzen eines Produktes gezeigt, das über einen in Oppau entwickelten Paraffinsonderkontakt bei 9, 12 und 14 atu erzeugt wurde. Auch hier zeigt sich besonders im Paraffinanteil keine systematische Änderung in Abhängigkeit vom Druck.

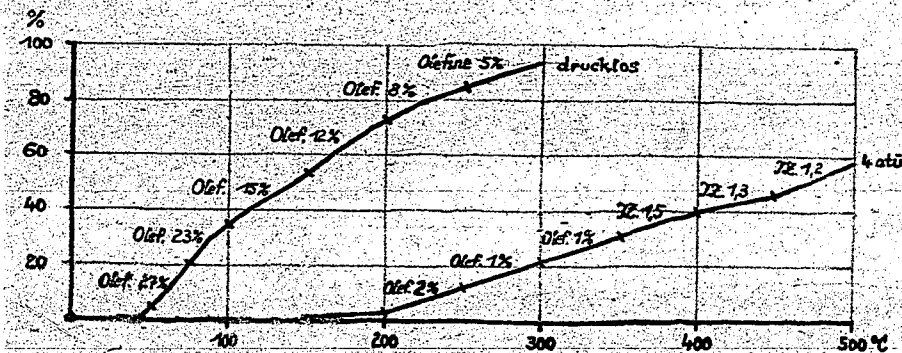
Das Schaubild IV bringt schließlich die Siedegrenzen eines Produktes, das bei 9 atu über einem in Leuna entwickelten Paraffinspezialkontakt erhalten wurde. Das Produkt enthält einen hohen Anteil von über 320° siedendem, das offenbar auf

Kosten des Betriebs gebildet werden ist, wie durch die Gegenüberstellung der Produkte beim Fahren über Benzinkontakt deutlich wird.

Die Zusammensetzung zeigt, daß jedermann eine starke Produktveränderung eintritt beim Übergang von drucklos auf Mitteldruck, daß aber darüber hinaus Druckeinfüllungen von z. B. 4 auf 9 atü oder 9 auf 14 atü praktisch ohne Einwirkung sind. Das gilt allerdings zunächst nur für die willkürlich festgelegte Einteilung mit den Siedegrenzen bis 180° , $180 - 320^{\circ}$ und $> 320^{\circ}$. Die letzte Festsetzung, alles was über 320° siedet, als Paraffin zu bezeichnen, bringt es mit sich, daß über die Hochmolekularen, deren Anteil sich sehr wohl unter dem Einfluß des Druckes verschieben kann, unberücksichtigt bleiben. Da die Siedekurve auch unter Zuhilfenahme des Hochvakuum nur bis ca. 550° verfolgt werden kann, soll z.Zt. der Anteil der Hochmolekularen durch fraktionierte Fällung festgestellt werden.

Der Einfluß des Gasdruckes auf den Sättigungsgrad der Produkte.

Die beiden folgenden Kurven zeigen den Sättigungsgrad der Primärprodukte beim drucklosen Betrieb und beim Fahren unter Druck.



Die erste Kurve zeigt den bekannten Verlauf des Olefingehaltes beim drucklosen Fahren. Die zweite Kurve gibt den Verlauf der Jodzahlen in Abhängigkeit von der Siedetemperatur wieder. Die Jodzahlen liegen bei I., d. h.; es liegt nur ein sehr geringer Olefingehalt vor. Es muß hingemerkt werden, daß die Produkte mit einem Synthesegas erzeugt worden sind, das ein $\text{CO} : \text{H}_2$ Verhältnis = $1 : 2,6$ hat. Mit dem für die Reaktion richtigen Gasverhältnis würden sich die Olefingehalte bei beiden Kurven etwas nach größeren Werten zu verschieben.

Verarbeitung

Bei der Paraffinsynthese eignen sich insbesondere die hochmolekularen Anteile mit Schmelzpunkten zwischen 65° und 130° . Es wurden Kontaktversuche und Fahrversuche angestellt.

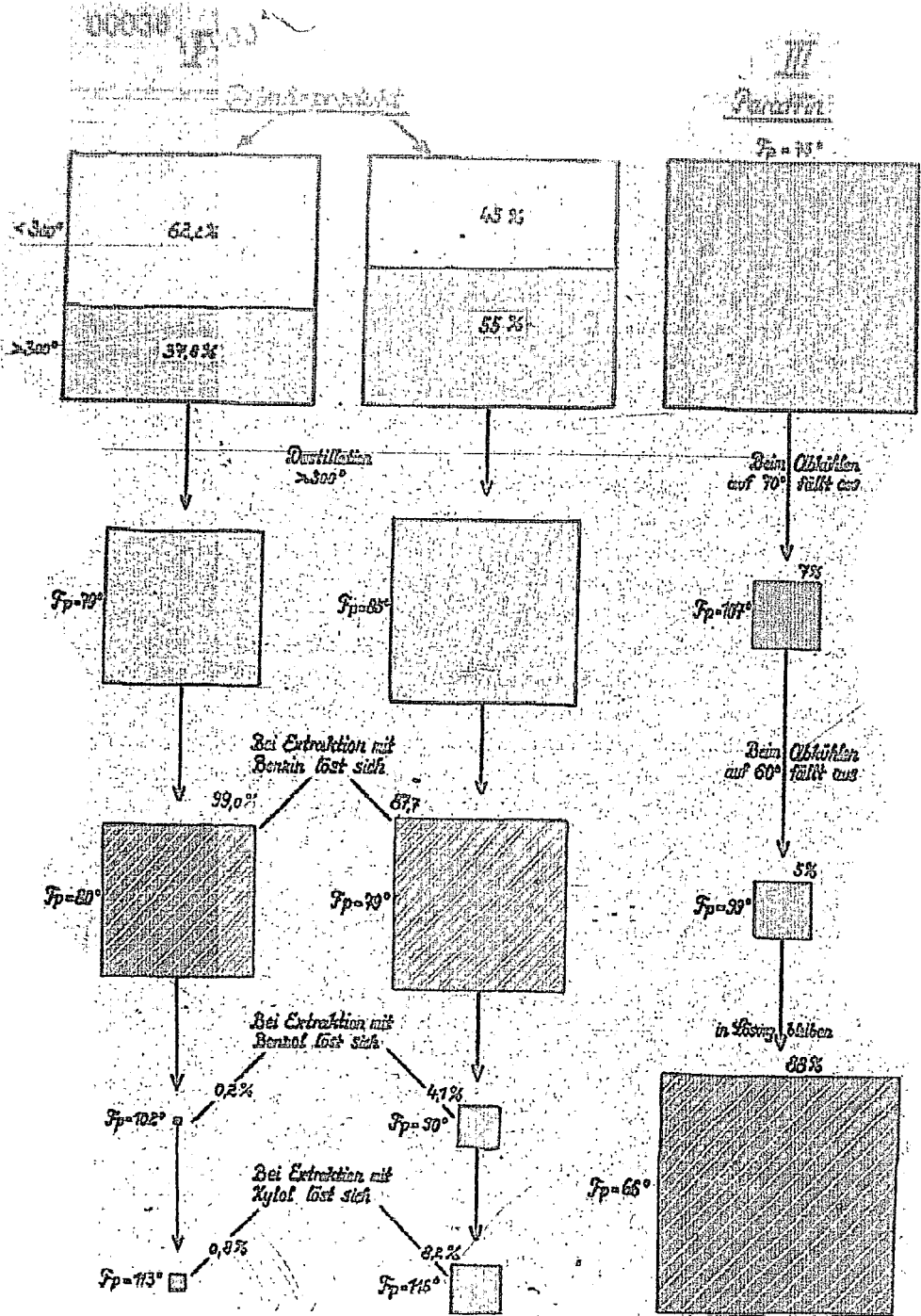
Einfachst wurde der in der Literatur beschriebene Ru₃-Kontakt nach den Angaben von Fichter (Eremitstoff-Chemie 19, Nr. 22, S. 226) hergestellt und gefahren. Dabei wurden unter den angegebenen Bedingungen nur geringe Mengen Kohlenwasserstoff erhalten, mit einem Schmelzpunkt von 40° Paraffin, aus dem sich höchstschmelzendes Produkt ein bräunliches Paraffin vom Schmelzpunkt ≈ 100 isolieren ließ. Die Synthese mit Ruthenium-Kontakten lief aber nur einige Tage gut und ließ sehr schnell nach, sodaß keine größeren Mengen Hartparaffin so gewonnen werden konnten. Es zeigte sich jedoch, daß in vielen Paraffinen der Mitteldrucksynthese, die über Co-Kontakt erzeugt wurden, gewisse Mengen hochschmelzender Anteile vorhanden sind. Die einfache Methode der funktionierten Extraktion mit verschiedenen Lösungsmitteln lieferte uns dabei die ersten Ergebnisse, deren Auswertung eine Steigerung des Anteils an hochmolekularen Paraffin brachte. Dabei zeigte sich, daß Kontakte, die an sich zur Synthese von mittleren Paraffinen geeignet sind, also bei guten spezifischen Ausbeuten einen großen Anteil an über 300° siedenden Produkten haben, gleichzeitig prozentual einen kleinen Anteil an höchstschmelzendem Paraffin liefern als Kontakte, die nur einen kleinen Umsatz aufweisen oder verhältnismäßig wenig Paraffin liefern, wie die folgende Gegenüberstellung zeigt.

Tabelle 11.

Vers.-Nr.	Kontakt-Nr.	Gas	Druck atü	Belastung %	Ausbeute %	% Hart- paraffin	F.P. des Paraffin	F.P. Paraffin
IV	R. Ch.	Synthese- gas	14	1 : 100	74,0	0,6	115°	38
14								
I	R. Ch.	"	14	1 : 100	83,7	1,4	116°	36
13								
VIII	17 A. 862	"	12	1 : 100	116,0	4,8	114°	68
3								
VI	2350	"	14	1 : 100	115,0	4,5	116°	66
15								

Aus der Tabelle geht zweierlei hervor:

1. Bei allgemein geringem Umsatz, also Ausbeuten von 70 - 80 % in einer Stufe ist der Anteil an Hartparaffin gering. Er beträgt etwa 1% an Hartparaffin von



44000

+ 21 +

44000

Schmelzpunkt $> 110^{\circ}$, dabei ist der Paraffinanteil allgemein $< 40\%$, d. h. im gesamten Fall sind weniger als 40% über 100° . Bei verhältnismäßig großen Durchlässen, d. h. Ausbeuten von $\geq 110 \text{ g/m}^3$ Synthesepar ist der Anteil an Hartparaffin wesentlich größer, er beträgt dann z. B. $\approx 5\%$, während gleichzeitig der Anteil an über 100° siedenden Produkten (definitionsgemäß Paraffin) groß ist, in den angeführten Beispielen $> 65\%$.

Isolierung des Hartparaffins.

Aus dem unmittelbar anfallenden Kohlenwasserstoffgemisch, das jedenfalls noch niedrigviskose flüssige Bestandteile enthält, wurden zunächst alle bis 100° siedenden Bestandteile abgetrennt und danach einer selektiven Extraktion mit verschiedenen Lösungsmitteln unterworfen. (s. Ber. 72/2, S. 330).

Um Vergleichswerte zu bekommen, wurde in allgemeinen die Extraktion nach einem bestimmten Schema vorgenommen.

Das Produkt wurde dabei je 24 Stunden mit Benzин, Xylen und Ketyl behandelt. Die Hauptmenge geht meist schon bei der Benzинextraktion in Lösung, ein verhältnismäßig geringer Anteil löst sich im Xylen, der Rest im Ketyl. Verbleibt ein Rückstand, so enthält dieser die höchstmolekularen Produkte, sonst sind sie im Ketyl gelöst worden.

Eine Übersicht über die Aufteilung der verschiedenen Anteile mit den vorgenannten 3 Lösungsmitteln gibt das nebenstehende Bild.

In I wird die Aufteilung eines Produktes wiedergegeben, das durch einen auf Paraffin geführten Benzinkontakt synthetisiert wurde.

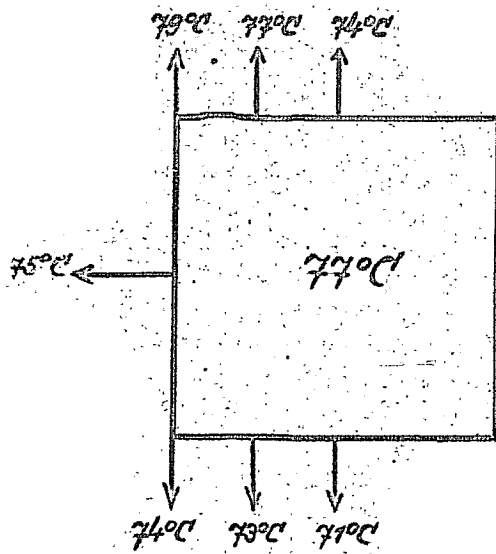
einzig Produkt

II zeigt die Aufspaltung des zur Paraffinsynthese entwickelten Kontaktes

Neben der Anreicherung an Hartparaffin durch Extraktionen mit verschiedenen Lösungsmitteln wurde auch die Aufteilung des Frischproduktes der Mitteldrucksynthese durch fraktionierte Kristallisation bei verschiedenen Temperaturen aus einem Lösungsmittel (es wurde meist Xylen verwendet) versucht. Unter III ist graphisch eine typische Aufteilung dargestellt.

Qualitativ zeigen die Methoden der fraktionierten Fällung und der fraktionierten Lösung keine Unterschiede. Es gelingt mit beiden, hochschmelzende Produkte zu

00040



isolieren. Quantitative Versuche in dieser Richtung werden nicht angestellt. Als Möglichkeit zur Anreicherung von Kartparaffin aus einem Gemisch, wie es bei der Mitteldruckmethode auftritt, wurde nach Trennung durch fraktionierte Kratzierung vorsichtig:

Als Modellversuch wurden zu diesem Zweck in einem Becherglas ca. 300 g Paraffin aufgeschmolzen, das Glas in einen genau passenden Aluminiumblock gesetzt und mit einem starkwändigen Aluminiumdeckel bedeckt. Durch den Deckel war luftdicht ein Rohr eingeführt. Der Aluminiumblock wurde in ein großes Silber gelegt, dessen Temperatur sich ständig um 2° änderte. Nach völliger Abkühlung bis auf Zimmertemperatur wurde der Paraffinblock aus dem Glas genommen. In verschiedenen Stellen entnommene Proben zeigen, daß eine teilweise Trennung eingetreten ist.

Aus der nebenstehenden Abbildung geht hervor, daß an Deckel außen die schnellste Abkühlung stattgefunden hat. Dementsprechend ist dort das Produkt mit dem höchsten Schmelzpunkt von 79° abgeschieden, während innen unten sich das niedrigschmelzende Paraffin befindet. Der größte Unterschied, der auftritt, beträgt 9° , Schmelzpunkterhöhung gegenüber dem Ausgangsmaterial 2° . D. h. also, daß die Methode an sich brauchbar ist, jedoch praktisch wahrscheinlich nur in Kombination mit den vorgenannten Methoden der fraktionierten Füllung bzw. Lösung Anwendung finden kann.

Zusammenfassung:

I. Arbeiten über Eisenkontakte.

1. Als vorteilhafteste Fahrweise nur mit Eisenkontakt ergab sich die Verwendung von Leunier Ammonikontakt und Wassergas bei 30 atm.

In einer Stufe ergaben sich:

93 g flüssig + feste Produkte

23 g C₂ + C₄ K.H.

5 g Alkohol.

Die Kohlenwasserstoffe enthielten 65 % Olefine, das Benzin hat einen Klopffunkt von 63.

2. Es wurde erkannt, daß sich eine wesentliche Steigerung der Ausbeute/m³ Wassergas ergibt, wenn man in der ersten Stufe mit Eisenkontakt beim Mitteldruck, und in einer zweiten Stufe mit Kobaltkontakt drucklos oder unter Druck arbeitet. Als praktisches Ergebnis aus einem 9 Liter Kontaktversuch über die Dauer von 4 Wochen wurde dabei erzielt:

156 g/n³ ideales Wassergas Gesamtprodukt, davon

53,9 g Benzin,

43,6 g Gasöl.

III: Arbeiten über Fehlkontakte.

1. Es wurden in Leuna Kontakte entwickelt, die bei Ausbauten von 170 G/m² idealer Synthesegas ca. 70 % Paraffin von 35 > 300° in einer Stufe erzeugen.
2. Die gleichen Kontakte sind auch zur Hartparaffinhärtung geeignet.
ca. 3 - 5 % der anfallenden Primärprodukte schmelzen bei 110° oder höher.
3. Es wurde der Einfluß der Fahrbedingungen auf die Zusammensetzung des Produkts anfallen bei der drucklosen und den verschiedenen Mitteldrucksynthesen festgelegt sowie der Einfluß des Druckes auf den Olefingehalt. Zur Isolierung der Hartparaffine wurden die verschiedenen möglichen Arbeitsmethoden geprüft und weiter entwickelt. Von der selektiven Extraktion, fraktionierten Erststernung und fraktionierten Fällung eignet sich für die Arbeitsweise im Laboratorium die letztere am besten.
4. Es konnte in erheblichen Mengen Hartparaffin mit dem Schmelzpunkt 116° gewonnen werden.

Die Herstellung gibt den Stand
der Arbeiten bis Ende März 1940 wieder.

Wintzer
We

Ø Horren

Dr. Dr. Bitofisch
Dir. Dr. v. Staden
Dr. Herold
Überling, Sabel
Dr. Braun
Dr. Wenzel
Dr. Wirth
Dr. Wintzer